Особенности рождения антипротонов с большими поперечными импульсами под углом 40° в p+A взаимодействиях при энергии пучка $50~\Gamma$ эВ

 $H. H. Антонов^+, B. A. Викторов^+, B. A. Гапиенко^{+1}, Г. С. Гапиенко^+, И. В. Лобов^+, Ф. Н. Новоскольцев^+, А. Ф. Прудкогляд^+, А. А. Семак^+, И. П. Солодовников^+, В. И. Терехов^+, М. Н. Уханов^+, С. С. Шиманский*$

+Институт физики высоких энергий, НИЦ "Курчатовский институт", 142281 Протвино, Россия *Объединенный институт ядерных исследований, 141980 Дубна, Россия

Поступила в редакцию 27 сентября 2023 г. После переработки 15 ноября 2023 г. Принята к публикации 22 ноября 2023 г.

Представлены данные по рождению антипротонов под углом 40° (лаб. сист.) во взаимодействиях протонов с энергией $50\,\Gamma$ эВ с четырьмя ядерными мишенями: C, Al, Cu и W. Инвариантные сечения измерены при поперечных импульсах вплоть до $p_T\approx 2.6\,\Gamma$ эВ/с. Анализ импульсных спектров показал, что в процессе образования антипротонов участвуют многонуклонные (многокварковые) конфигурации внутри ядра. Результаты получены в эксперименте СПИН (ИФВЭ, Протвино).

DOI: 10.31857/S1234567824010014, EDN: sanlaf

При анализе данных с космических аппаратов выяснилось, что точность измерения потоков антипротонов в космических лучах значительно выше точности расчетов, базирующихся на результатах ускорительных экспериментов. Желательность получения новых данных по рождению антипротонов в p+A столкновениях в широком диапазоне энергий, в том числе и при $\sqrt{S}\sim 10\,\Gamma$ эВ, была отмечена в [1].

В работе представлены данные эксперимента СПИН по образованию антипротонов в p+A взаимодействиях при энергии пучка 50 ГэВ. Основной задачей эксперимента является детальное изучение процессов рождения частиц с большими поперечными импульсами ($p_T > 1 \, \Gamma_{\rm 9} {\rm B/c}$) в предкумулятивной и кумулятивной областях. Под кумулятивной областью понимается область значений импульсов, запрещенных по кинематике для взаимодействий с участием свободных нуклонов, а сами частицы, рожденные в кумулятивной области, принято называть кумулятивными. Выбранная кинематическая область дает возможность [2, 3] наблюдать процессы жесткого взаимодействия налетающей частицы с многонуклонными (многокварковыми) компонентами в ядерной материи при минимальном вкладе вторичных перерассеяний.

Исследование проводится с помощью одноплечевого, узкоапертурного магнитного спектрометра, ко-

торый позволяет измерять инклюзивные спектры заряженных частиц, вылетающих под фиксированным углом при облучении тонких ядерных мишеней высокоинтенсивными пучками протонов или ядер углерода, выведенными из ускорителя У70. Схему установки и детали эксперимента можно найти в [4].

Настоящие результаты получены при регистрации частиц, вылетающих из мишеней под углом 40° (лаб. сист.) по отношению к направлению пучка, что соответствует $\sim 150^\circ$ в с.ц.м. налетающего протона и покоящегося нуклона ядра. Измерения проводились с использованием выведенного из ускорителя У70 протонного пучка с интенсивностью $\sim 2 \cdot 10^{12}\, {
m протонов/цикл}$ при длительности вывода $\sim 1\,\mathrm{c}$. Диапазон импульсов, доступный для анализа спектров антипротонов, составлял 1–4 ГэВ/с. Ширина захвата импульсов спектрометром в этом диапазоне составляла $\Delta p/p \approx 2\%$. Идентификация заряженных частиц в эксперименте проводится с помощью измерения времени пролета. Дополнительно используются данные с порогового черенковского детектора, что позволяет проводить разделение заряженных π/K мезонов. Максимальное значение измеренного поперечного импульса было $p_T = 2.57 \, \Gamma$ эВ/с.

Инвариантные сечения рождения антипротонов показаны на рис. 1 для четырех разных мишеней: С, Al, Сu и W. Для описания инклюзивных спектров частиц в кумулятивной области и в области с большими p_T В. С. Ставинский предложил [5] использовать кинематические переменные квазибинар-

¹⁾e-mail: Vladimir.Gapienko@ihep.ru

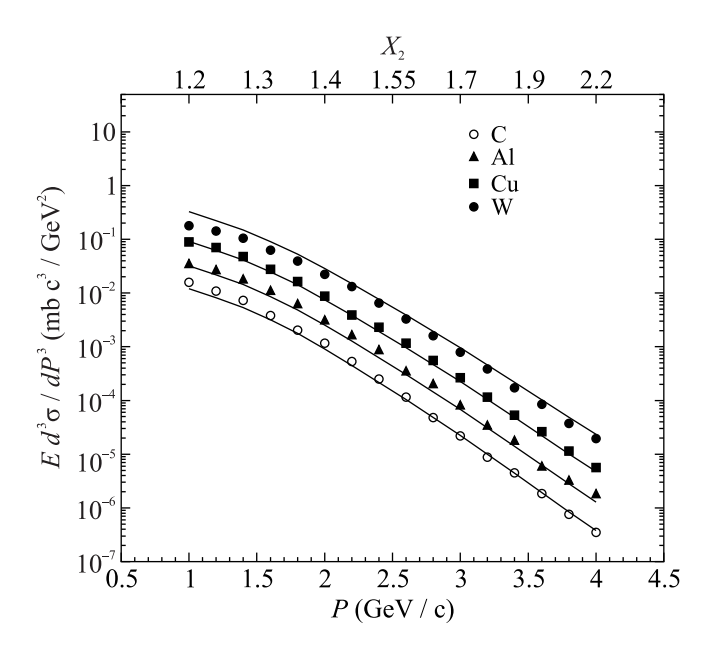


Рис. 1. Инвариантные сечения рождения антипротона как функции импульса. На верхней горизонтальной оси приведены расчетные значения переменной X_2 . Кривые представляют результат расчетов согласно (1)

ных подпроцессов, в которых участвуют части сталкивающихся объектов (аналогично, как это делается в партонной модели). Для этого он ввел переменные X_1 и X_2 ("переменные Ставинского"), описывающие участвующие в столкновениях доли от первоначальных четырех-импульсов, соответственно, налетающей частицы и мишени. Значения "переменной Ставинского" X_2 , вычисленные согласно [5,6], приведены на верхней горизонтальной оси рис. 1. В нашем случае величина X_2 является минимальной массой мишени (измеренной в единицах массы нуклона), необходимой для рождения антипротона под углом 40° . Как следует из приводимых значений X_2 , во всем диапазоне доступных импульсов процесс рождения антипротона идет с участием мишени с массой большей массы нуклона.

В предыдущих работах [8,9], где анализировались данные эксперимента СПИН, по образованию заряженных частиц с большими p_T в пред- и кумулятивной областях в p+A и C+A взаимодействиях, было показано, что инвариантные сечения могут быть описаны параметризацией [6,7]:

$$E\frac{d^{3}\sigma}{dp^{3}} = C_{1} \cdot A_{1}^{\alpha(X_{1})} \cdot A_{2}^{\alpha(X_{2})} \cdot \exp(\Pi/C_{2}), \quad (1)$$

где A_1 и A_2 атомные массы сталкивающихся ядер, C_1 и C_2 – константы, Π -безразмерная скейлинговая переменная, $\Pi = \sqrt{S_{\min}}/2m_N$, $\sqrt{S_{\min}}$ – минимальная инвариантная энергия квазибинарного подпро-

цесса, m_N – масса нуклона, $\alpha(X)$ – функция от X_1 или X_2 . Аппроксимация измеренных в эксперименте СПИН спектров π , d и t при $p_T > 1 \Gamma {\rm pB/c}$ выражением (1) выполнима [8,9], если A-зависимость брать в виде $\alpha(X) = (K + X)/3$, где величина Kопределялась как 2.45 + 0.05. Результат применения выражения (1) при степенной зависимости, взятой как $\alpha(X) = (2.4 + X_2)/3$, представлен на рис. 1 в виде кривых с параметром наклона $C_2 = 0.160$. Кривые хорошо описывают точки в широком интервале импульсов. Однако переменные X_1 и X_2 не могут дать абсолютно точное описание кинематики квазибинарного рассеяния, поскольку в процедуре [5,6] никак не учитываются структурные функции налетающей частицы и частицы мишени. Возможно с этим связано наличие разницы между расчетом и экспериментальными данными в области импульсов $p \approx 1 \, \Gamma_{\rm 9} B/c$.

В нашей предыдущей работе [10] для 4-х мишеней были представлены величины отношения \bar{p}/π^- - в зависимости от поперечного импульса. Из этих данных, воспроизведенных здесь на рис. 2, был сделан

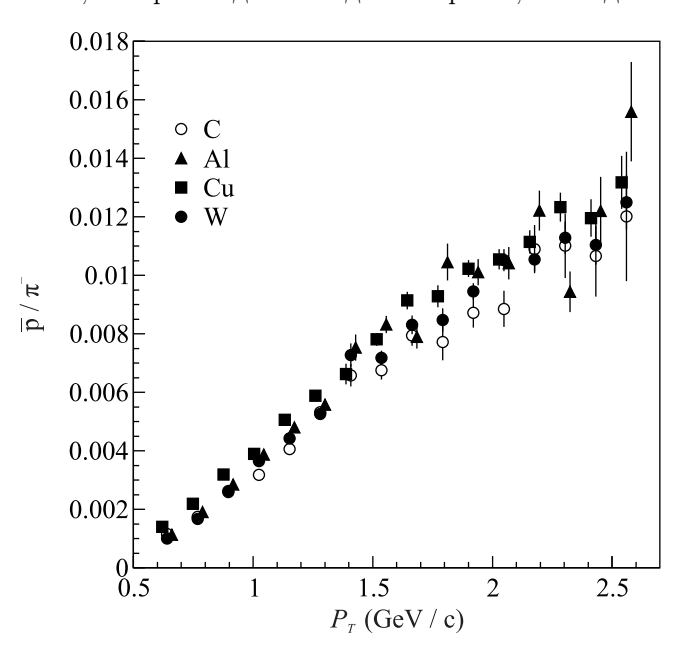


Рис. 2. Взят из [10]. Отношение \bar{p}/π^- как функция поперечного импульса для 4-х мишеней

вывод о тождественности \bar{p}/π^- для всех использованных ядер. Однако, более детальное рассмотрение позволяет увидеть возможный эффект от вторичных взаимодействий. На рисунке 3 для разных импульсов приведены двойные отношения $(\bar{p}/\pi^-)_{\rm w}/(\bar{p}/\pi^-)_{\rm c}$ и $(\bar{p}/\pi^-)_{\rm Al}/(\bar{p}/\pi^-)_{\rm c}$, где индексами "w", "Al" и "c" обозначены мишени, для которых измерялось \bar{p}/π^- отношение. Точки для всех перечисленных выше двойных отношений лежат на рис. 3 систематически вы-

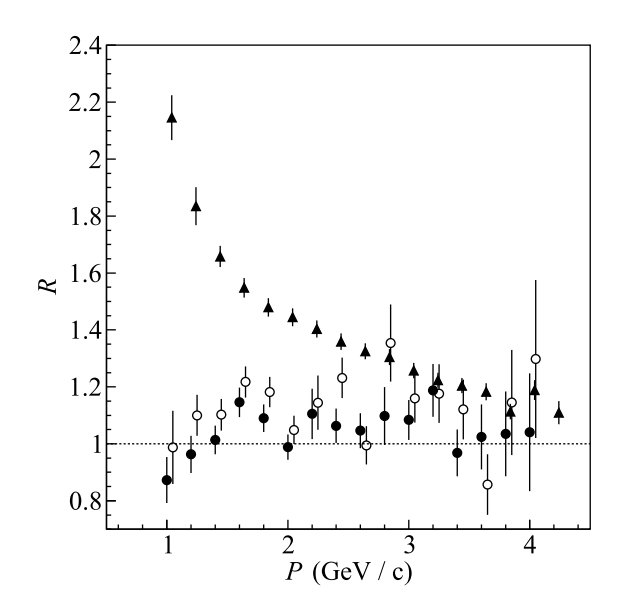


Рис. 3. Двойные отношения в зависимости от импульса частиц: черными кружками приведено $(\bar{p}/\pi^-)_{\rm w}/(\bar{p}/\pi^-)_{\rm c}$, светлыми кружками $(\bar{p}/\pi^-)_{\rm Al}/(\bar{p}/\pi^-)_{\rm c}$, отношение $(p/\pi^+)_{\rm w}/(p/\pi^+)_{\rm c}$ [11] показано треугольниками

ше единицы, что может свидетельствовать о наличии вторичных взаимодействий. Приведенное на этом же рисунке для сравнения двойное отношение $(p/\pi^+)_{\rm w}/(p/\pi^+)_{\rm c}$, полученное [11] нами из спектров протонов и π^+ мезонов, подчеркивает разницу между механизмами рождения протонов и антипротонов.

В работах [12, 13] исследовалось образование частиц с импульсами до $3 \, \Gamma$ эB/с под нулевым углом к направлению пучка при взаимодействии с различными ядрами пучка протонов с энергией $70 \, \Gamma$ эВ ускорителя У70. Если для p/π^+ наблюдалась сильная зависимость от атомного веса мишени, то неожиданным результатом было обнаружение одинаковой Азависимости для выходов как для \bar{p} , так и для π^- частиц,а именно $\sim A^{2/3}$. Это позволило сделать вывод [13] о слабом поглощении антипротонов ядром. Вывод о малом вкладе вторичных процессов был получен и в работе [14] при исследовании рождения антипротонов под малыми углами в протон-ядерных столкновениях при энергии протонного пучка с энергией $10 \, \Gamma$ эВ.

На рисунке 4 измеренные нами величины \bar{p}/π^- приведены для разных p_T совместно с данными [15] эксперимента FODS ($\sqrt{S}=11.5\,\Gamma$ эВ) и данными[16] эксперимента на ускорителе FNAL ($\sqrt{S}=23.8\,\Gamma$ эВ). Для каждого из перечисленных экспериментов на рисунке 4 показаны результаты, полученные с двумя разными мишенями. Отличием представленного нами распределения от данных из [15] и [16] яв-

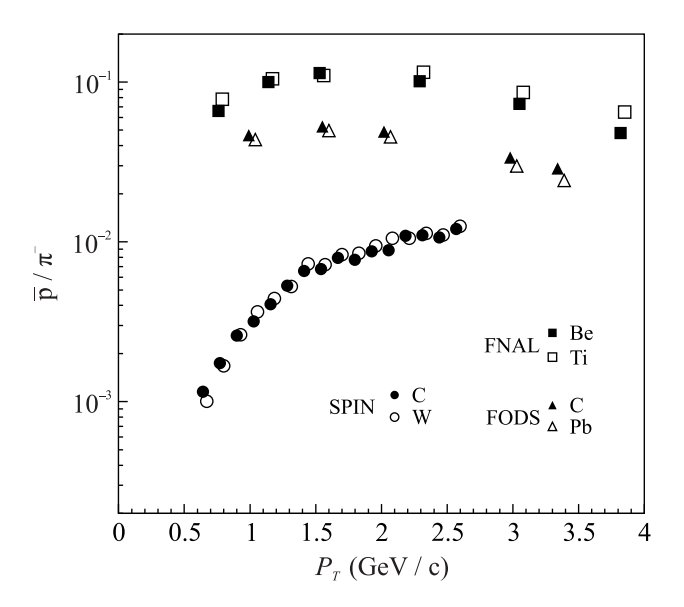


Рис. 4. Отношение (\bar{p}/π^-) как функция p_T . Данные для FODS взяты из [15], данные эксперимента FNAL позаимствованы из [16]

ляется отсутствие "перегиба" при $p_T \sim 1.5\,\Gamma$ эВ/с. Отметим, что данные работ [15] и [16] получены под углами близкими к 90° в с.ц.м. и без выхода за область импульсов, разрешенных в кинематике нуклон-нуклонных взаимодействий.

Основные выводы. Выход антипротонов, вылетающих под углом 40° (лаб. сист.) из C, Al, Cu и W мишеней, имеет ту же самую сильную зависимость от массы ядра, что была ранее нами обнаружена [8, 9] для других частиц, рождающихся с $p_T > 1 \, \Gamma$ эВ/с под углами 35° и 40° после облучения ядерных мишеней протонами с энергией 50 ГэВ. Это отличается от степенной зависимости $\sim A^{2/3}$, установленной [12, 13] в измерениях на У70 при регистрации антипротонов под "нулевым" углом к направлению пучка. Анализ инклюзивных спектров указывает на механизм образования антипротонов с участием многокварковой (многонуклонной) компоненты ядра. Отношение \bar{p}/π^- , измеренное для разных ядер, свидетельствует о наличии искажающего влияния вторичных взаимодействий.

Авторы признательны руководству НИЦ "Курчатовский институт" – ИФВЭ за поддержку данного исследования, персоналу отделения ускорителя и отделения пучков за эффективную работу. Авторы благодарят Головина А.Т. за неоценимую техническую помощь, оказываемую при подготовке установки СПИН к проведению измерений.

Финансирование работы. Данная работа финансировалась за счет средств бюджета Института физики высоких энергий, НИЦ "Курчатовский ин-

ститут". Никаких дополнительных грантов на проведение или руководство данным конкретным исследованием получено не было.

Конфликт интересов. Конфликт интересов отсутствует.

- M. Korsmeier, F. Donato, and M. Di Mauro, Phys. Rev. D 97, 103019 (2018).
- 2. А. В. Ефремов, В. Т. Ким, Г. И. Лыкасов, Я Φ **44**, 241 (1986).
- 3. Л. П. Каптарь, Б. Л. Резник, А. И. Титов, ЯФ **42**, 777 (1985).
- 4. Н. Н. Антонов, В. А. Викторов, В. А. Гапиенко, Г. С. Гапиенко, В. Н. Гресь, А. Ф. Прудкогляд, В. А. Романовский, А. А. Семак, И. П. Солодовников, В. И. Терехов, М. Н. Уханов, (эксперимент СПИН), ПТЭ 5, 43 (2022).
- В.С. Ставинский, Краткие сообщения ОИЯИ 18, 5(1986).
- А. А. Балдин, Краткие сообщения ОИЯИ 3(54), 27 (1992).
- А. А. Балдин, Е. Н. Кладницкая, О. В. Рогачевский, Краткие сообщения ОИЯИ 2(94), 20 (1999).
- 8. В. В. Аммосов, Н. Н. Антонов, В. А. Викторов и др. (эксперимент СПИН), ЯФ и ИНЖ. **4**(9–10), 773 (2013).

- 9. Н. Н. Антонов, А. А. Балдин, В. А. Викторов (эксперимент СПИН), Письма в ЖЭТФ **111**(5), 291 (2020).
- 10. Н. Н. Антонов, В. А. Гапиенко, Г. С. Гапиенко, В. Н. Гресь, М. А. Илюшин, А. Ф. Прудкогляд, В. А.Романовский, А. А. Семак, И. П. Солодовников, В. И. Терехов, М. Н. Уханов, В. А. Викторов, (эксперимент СПИН), ЭЧАЯ **53**(2), 329 (2022).
- 11. Н. Н. Антонов, А. А. Балдин, В. А. Викторов и др. (эксперимент СПИН), Письма в ЖЭТФ $\mathbf{108}(12)$, 799 (2018).
- 12. Л. М. Барков, В. Г. Васильченко, Н. К. Вишневский, В. С. Дацко, Ю. М. Иванов, В. И. Котов, В. Г. Лапшин, П. К. Лебедев, А. И. Мысник, С. Б. Нурушев, Р. А. Рзаев, А. И. Ронжин, В. И. Рыкалин, В. П. Сахаров, Ядерная Физика **35**(5), 1186 (1982).
- Л. М. Барков, М. С. Золотарев, В. И. Котов, П. К. Лебедев, Л. А. Макарьина, А. П. Мишакова, В. С. Охапкин, Р. А. Рзаев, В. П. Сахаров, В. П. Смахтин, С. С. Шиманский, Ядерная Физика 37(5), 1232 (1983).
- А.О. Вайсенберг, Ю.Б. Лепихин, В.А. Смирнитский, Ю.М. Шабельский, В.А. Шейнкман, Письма ЖЭТФ 29(11), 719 (1979).
- 15. V. V. Abramov, B. Yu. Baldin, A. F. Buzulutskov et al. (FODS experiment), Z. Phys. C 24, 205 (1984).
- J. W. Cronin, H. J. Frisch, M. J. Shochet, J. P. Boymond, P. A. Piroue, and R. L. Sumner, Phys. Rev. D 11, 3105 (1975).